



Universidade do Minho
Escola de Engenharia
Licenciatura em Engenharia Informática

Unidade Curricular de Computação Gráfica

Ano Letivo de 2024/2025

Trabalho Prático - Fase 1

Eduardo Faria
a104353

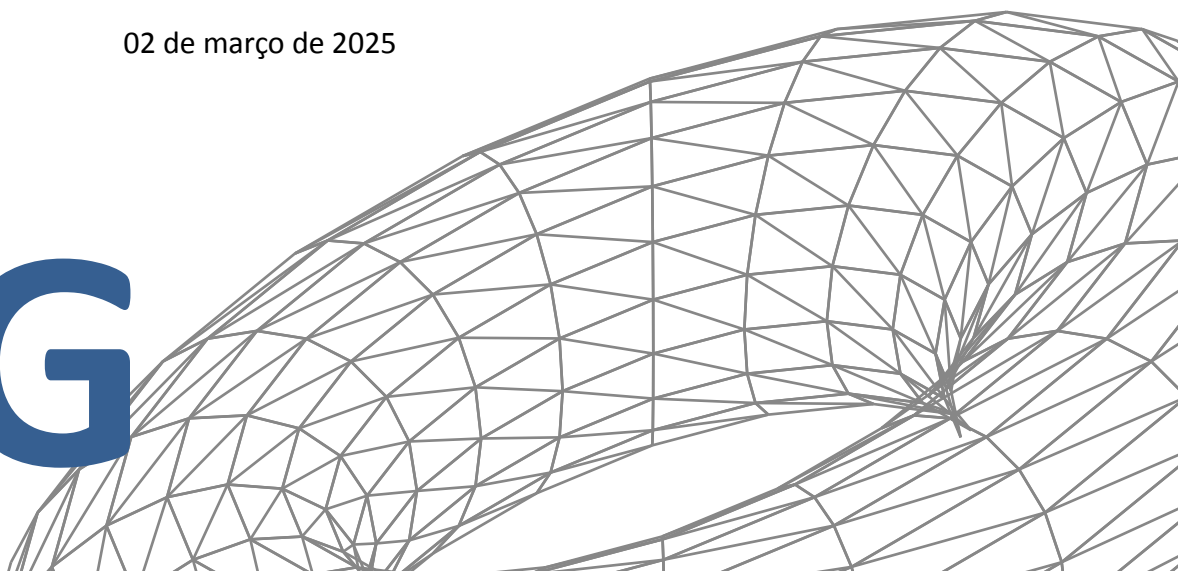
Hélder Gomes
a104100

Nuno Silva
a104089

Pedro Pereira
a104082

02 de março de 2025

CG



Data da Receção	
Responsável	
Avaliação	
Observações	

Trabalho Prático - Fase 1

Eduardo Faria a104353	Hélder Gomes a104100	Nuno Silva a104089	Pedro Pereira a104082
---------------------------------	--------------------------------	------------------------------	---------------------------------

02 de março de 2025

Resumo

Nesta primeira fase do projeto, foi desenvolvido um gerador de modelos (*generator*) e um motor gráfico (*engine*) capaz de interpretar e renderizar primitivas gráficas tridimensionais. O *generator* permite criar ficheiros contendo a informação dos vértices e associações. O *engine*, por sua vez, lê um ficheiro de configuração em XML, onde estão especificadas definições de cena e a lista de modelos a carregar, renderiza os objetos especificados e fornece uma interface gráfica para a sua visualização.

Área de Aplicação: Computação Gráfica, Modelação Tridimensional e Motores de Renderização

Palavras-Chave: Computação Gráfica, OpenGL, Primitivas Gráficas, Modelação 3D, XML

Índice

1. Arquitetura Geral	1
2. Generator	2
2.1. Estrutura dos ficheiros	2
2.2. Primitivas	2
2.2.1. Plano	2
2.2.2. Cubo	4
2.2.3. Esfera	5
2.2.4. Cone	6
2.2.5. Cilindro	7
2.2.6. Toro	8
3. Engine	11
3.1. Ficheiros de cena .xml	11
3.2. Renderização	12
3.2.1. Controlos	12
3.2.2. VBOs	12
4. Extras	13
4.1. Menu na Interface Gráfica	13
4.1.1. Definições da Câmara	13
4.1.2. Definições de Cena	14
4.1.3. Definições dos Modelos	14
4.2. Suporte para ficheiros .obj	15
5. Conclusão	16
Referências	17
Lista de Siglas e Acrónimos	18
Anexos	19
Anexo 1 Logo da Universidade do Minho	19
Anexo 2 Visão geral do menu	20
Anexo 3 Definições da câmara	20
Anexo 4 Definições da cena	21
Anexo 5 Definições dos modelos	21

1. Arquitetura Geral

A arquitetura do projeto é dividida em dois módulos principais: o *generator* e o *engine*. Ambos são projetados para oferecer uma solução modular e escalável para a criação e visualização de modelos tridimensionais, com ênfase na separação de responsabilidades e otimização de recursos computacionais.

Generator

O módulo *generator* é responsável pela geração de ficheiros contendo os dados dos vértices das primitivas gráficas (como planos, esferas, cones, etc.) disponibilizadas ao utilizador. Estes ficheiros seguem um formato padronizado, otimizado para reduzir a sobrecarga computacional no lado do *engine*. Os dados gerados são armazenados em ficheiros (ex.: `plane.3d` e `sphere.3d`) e integrados no ficheiro de configuração da cena (`config.xml`), que define a disposição espacial e as propriedades visuais dos modelos. Este processo permite ao *engine* focar-se exclusivamente na renderização, melhorando a performance e a modularidade do sistema.

Engine

O módulo *engine* é responsável pela interpretação dos ficheiros de configuração (`config.xml`) e pela renderização dos modelos tridimensionais. Utiliza os dados gerados pelo *generator* para construir a cena e aplicar técnicas de visualização. A arquitetura do *engine* é baseada em componentes reutilizáveis (ex.: `draw.hpp` e `xml_parser.hpp`), facilitando a manutenção e a extensão do sistema.

2. Generator

O *generator* permite ao utilizador automatizar a criação das primitivas [plano](#), [cubo](#), [esfera](#), [cone](#), [cilindro](#) e [toro](#). Para tal, pode fazer uso do comando

```
./generator <shape_name> <param1> ... <paramN> <output_file>
```

para gerar as diferentes estruturas, assegurando que introduz os parâmetros esperados:

```
./generator plane <dimension> <divisions> <output_file>
./generator box <dimension> <divisions> <output_file>
./generator sphere <radius> <slices> <stacks> <output_file>
./generator cone <radius> <height> <slices> <stacks> <output_file>
./generator cylinder <radius> <height> <slices> <stacks> <output_file>
./generator torus <radius> <minor_radius> <slices> <stacks> <output_file>
```

2.1. Estrutura dos ficheiros

O formato padronizado dos ficheiros **.3d** permite ao nosso *engine* rapidamente ler e interpretar os vértices e faces associadas. A estrutura é definida por um número n inicial, representativo do número de pontos da primitiva, seguido de n pontos com coordenadas x , y e z , e um número k de associações entre pontos, seguido de k associações entre os índices de 3 pontos.

```
16
1 0 -1
1 0 -0.3333
1 0 0.3333
1 0 1
0.3333 0 -1
...
18
1 2 5
2 3 6
3 4 7
...
```

Figura 1: Exemplo da estrutura de um ficheiro **.3d**.

2.2. Primitivas

2.2.1. Plano

A geração de planos tridimensionais consiste em subdividir um plano quadrado, definido pelos limites $-\text{maxwidth} \leq x \leq \text{maxwidth}$ e $-\text{maxwidth} \leq z \leq \text{maxwidth}$ ($\text{maxwidth} = \frac{\text{dimension}}{2}$) em várias secções, de acordo com o número de divisões especificado.

Algoritmo de geração de Planos

O processo de criação de planos é realizado pela função `createPlane()`, que segue os seguintes passos:

1. Definição dos limites do plano:
 - O plano está centrado na origem, estendendo-se desde `-maxwidth` até `maxwidth` ao longo dos eixos x e z
2. Cálculo das coordenadas dos pontos:
 - O número total de pontos ao longo de cada aresta é igual a `divPerEdge + 1` (?? talvez dizer melhor o que é `divPerEdge`)
 - As coordenadas $(x, y$ e $z)$ dos pontos são calculadas iterando sobre as divisões:
 - $x = \text{maxwidth} - \frac{\text{dimension} \times i}{\text{divPerEdge}} \forall i \in \{0, 1, \dots, \text{divPerEdge}\}$
 - $y = 0$, assumindo um plano apoiado no plano xz
 - $z = \text{maxwidth} - \frac{\text{dimension} \times j}{\text{divPerEdge}} \forall j \in \{0, 1, \dots, \text{divPerEdge}\}$
3. Construção dos triângulos:
 - Para cada célula definida pelos pontos vizinhos, são formados dois triângulos:
 - Um triângulo “norte” (orientado positivamente ao longo de z)
 - Um triângulo “sul” (orientado negativamente ao longo de z)
 - As associações entre pontos são armazenadas através das posições relativas na estrutura

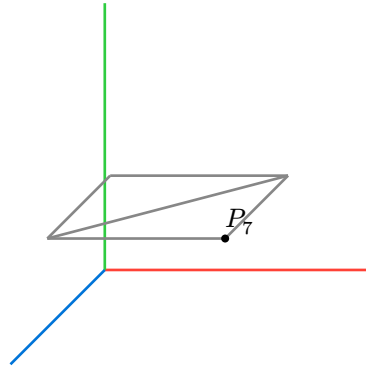


Figura 2: Representação de um conjunto de associações, na iteração 7, na execução do comando `generator plane 2 3 plane.3d1`.

4. Escrita para ficheiro.

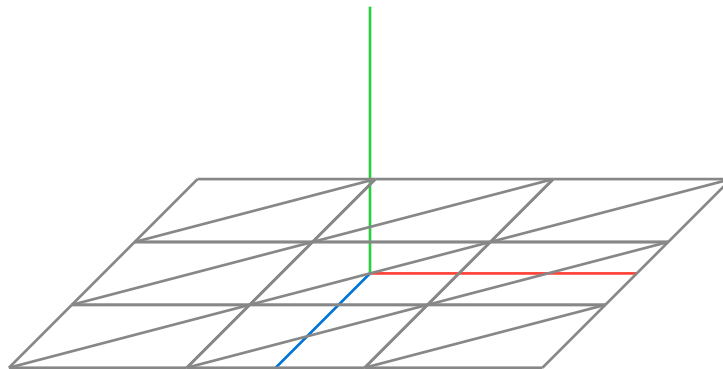


Figura 3: Representação da primitiva com a execução do comando `generator plane 2 3 plane.3d1`.

¹Os eixos seguem a seguinte coloração: (x, y, z)

2.2.2. Cubo

O processo de criação da primitiva cubo envolve a subdivisão de cada uma das seis faces em múltiplas secções triangulares e a sua posição relacional correta.

Cada face é gerada ao longo dos planos $x = \pm \frac{d}{2}$, $y = \pm \frac{d}{2}$ e $z = \pm \frac{d}{2}$. Para cada ponto (i, j) da estrutura de subdivisão n , as coordenadas (x, y, z) são determinadas por:

$$\begin{cases} x = \pm \frac{d}{2}, & \text{se a face for perpendicular ao eixo } x \\ x = \pm \frac{d}{2} - \frac{2di}{n}, & \text{caso contrário} \\ y = \pm \frac{d}{2}, & \text{se a face for perpendicular ao eixo } y \\ y = \pm \frac{d}{2} - \frac{2(j+1)j}{n}, & \text{caso contrário} \\ z = \pm \frac{d}{2}, & \text{se a face for perpendicular ao eixo } z \\ z = \pm \frac{d}{2} - \frac{2dj}{n}, & \text{caso contrário} \end{cases}$$

onde:

- d é a dimensão total do cubo
- n é o número de divisões por aresta
- u, v, w representam as normais unitárias das faces, que podem assumir valores em $\{-1, 0, 1\}$

Algoritmo de de Geração de Cubos

A função `createBox()` executa os seguintes passos para gerar os pontos de um cubo:

1. Configuração das faces:
 - Itera sobre as 6 faces possíveis do cubo
 - Determina as normais u, v, w para cada face
2. Geração de pontos:
 - Para cada ponto da estrutura de subdivisão (i, j) , calcula as coordenadas (x, y, z) de acordo com as equações acima
3. Formação dos triângulos:
 - Para cada artefacto da estrutura, gera dois triângulos (ver [2.2.1.3](#)), ajustando a ordem dos vértices para garantir a orientação correta da face
4. Escrita para ficheiro.

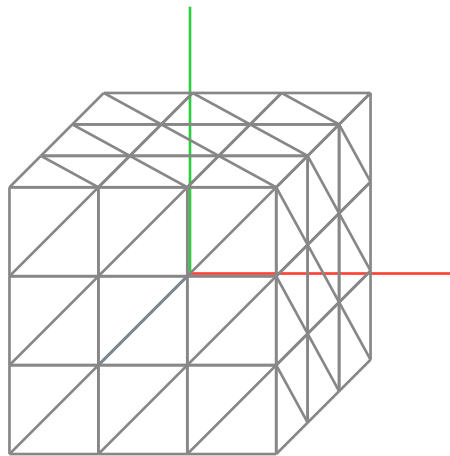


Figura 4: Representação da primitiva com a execução do comando `generator box 2 3 box.3d`.

2.2.3. Esfera

A criação de esferas tridimensionais é baseada na discretização das suas superfícies usando coordenadas esféricas. A esfera é definida pelo raio r , número de fatias s (*slices*) e número de camadas t (*stacks*), fundamentando-se nas seguintes formulas matemáticas:

$$\begin{cases} x = r \cdot \cos(\alpha) \cdot \cos(\beta) \\ y = r \cdot \sin(\beta) \\ z = r \cdot \sin(\alpha) \cdot \cos(\beta) \end{cases}$$

onde:

- r é o raio da esfera
- $\alpha = \frac{2\pi i}{s}$ é o ângulo azimutal, $0 \leq \alpha \leq 2\pi$
- $\beta = -\frac{\pi}{2} + \frac{\pi j}{t}$ é o ângulo polar, $-\frac{\pi}{2} \leq \beta \leq \frac{\pi}{2}$

Algoritmo de Geração de Esferas

A função `createSphere()` segue os seguintes passos:

1. Definição dos ângulos:

- Calcula o incremento de cada fatia e camada:
 - $\alpha = \frac{2\pi}{s}$
 - $\beta = \frac{\pi}{t}$

2. Geração de pontos:

- Itera por cada combinação de i e j , usando as equações paramétricas para determinar (x, y, z)

3. Formação dos triângulos:

- Associa os pontos para formar triângulos, lidando separadamente com os polos (quando $j = 1$ ou $j = t - 1$)

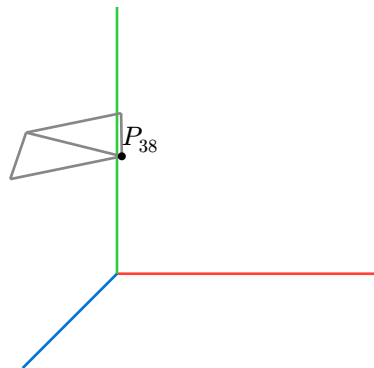


Figura 5: Representação de um conjunto de associações, na iteração 38, na execução do comando `generator sphere 1 10 10 sphere.3d`.

4. Escrita para ficheiro.

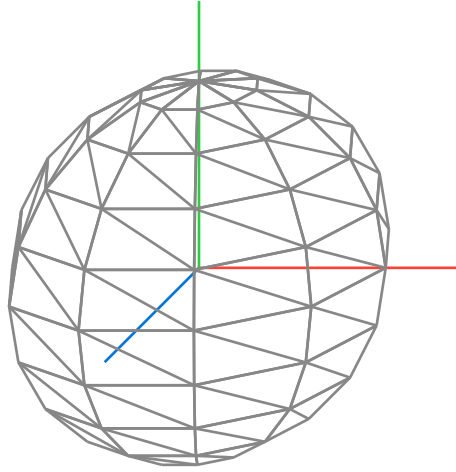


Figura 6: Representação da primitiva com a execução do comando `generator sphere 1 10 10 sphere.3d`.

2.2.4. Cone

A criação de cones tridimensionais é feito através de um processo iterativo pelos seus anéis. Este processo inicia-se no anel respetivo à base do cone e termina no anel respetivo ao vértice do topo do mesmo, sendo este simplesmente um anel/circunferência mas com raio nulo.

Por cada um dos anéis do cone, que representam os limites (horizontais) de cada *stack* do mesmo, itera-se pelos vários limites (verticais) que surgem da subdivisão do cone em *slices*. Desta forma, cria-se, em cada iteração, um ponto (x, y, z) que resulta da interseção entre um limite vertical e um limite horizontal respetivos à iteração atual, tendo por base as seguintes expressões matemáticas:

$$\begin{cases} x = r_a \cdot \cos(\alpha) \\ y = h_a \\ z = r_a \cdot \sin(\alpha) \end{cases}$$

onde:

- r_a é o raio do anel/circunferência que será percorrido na iteração atual
- h_a é a altura atual a que se encontra o anel a ser percorrido
- $\alpha = \frac{2\pi j}{\text{slices}}$ é o ângulo entre o eixo z o limite da *slice* respetiva à iteração atual pelo anel, $0 \leq \alpha \leq 2\pi$ e $0 \leq j < \text{slices}$

Algoritmo de Geração de Cones

A função `createCone()` segue os seguintes passos:

1. Definição do ângulo de uma *slice* e da distância entre *stacks*:

- O ângulo de uma *slice* (ângulo entre os limites verticais de uma *slice*):
 - $\Delta\alpha = \frac{2\pi}{\text{slices}}$
- O distância entres os limites horizontais de uma *stack*:
 - $\Delta h = \frac{\text{altura}}{\text{stacks}}$

2. Geração de pontos:

- Itera-se por cada combinação de i e j para determinar as coordenadas $(x, y$ e $z)$ de um ponto
- Por cada i calcula-se $h_a = i \cdot \Delta h$ e calcula-se $r_a = r \cdot \left(1 - \frac{i}{\text{stacks}}\right)$
- Por cada j calcula-se $\alpha = j \cdot \Delta\alpha$ e determinam as coordenadas x, y e z de um ponto com base nas expressões matemáticas definidas acima
- O ponto $(0,0,0)$ é criado separadamente, após todas as iterações serem finalizadas

3. Formação dos triângulos:

- Associam-se os pontos para formar triângulos, lidando separadamente com os triângulos da base do cone

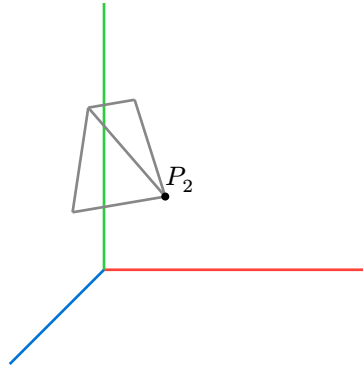


Figura 7: Representação de um conjunto de associações, na iteração 2, na execução do comando `generator cone 1 2 6 3 cone.3d.`

4. Escrita para ficheiro.

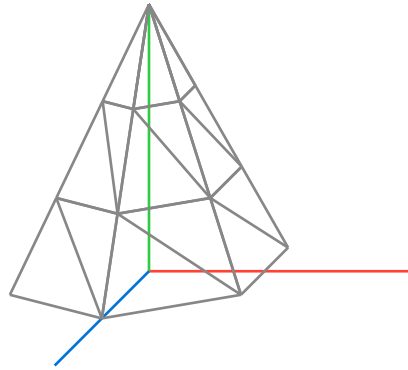


Figura 8: Representação da primitiva com a execução do comando `generator cone 1 2 6 3 cone.3d.`

2.2.5. Cilindro

A geração de cilindros tridimensionais é realizada através de um processo iterativo pelos seus anéis. Este processo inicia-se pelo anel corresponde à base situada no plano xz e termina no anel corresponde à base com maior cota.

$$\begin{cases} x = r \cdot \cos(\alpha) \\ y = h_a \\ z = r \cdot \sin(\alpha) \end{cases}$$

onde:

- r é o raio do anel/circunferência
- h_a é a altura atual a que se encontra o anel a ser percorrido
- $\alpha = \frac{2\pi j}{\text{slices}}$ é o ângulo entre o eixo z o limite da *slice* respetiva à iteração atual pelo anel, $0 \leq \alpha \leq 2\pi$ e $0 \leq j < \text{slices}$

Algoritmo de Geração de Cilindros

A função `createCylinder()` segue os seguintes passos:

1. Definição do ângulo de uma *slice* e da distância entre *stacks*:

- O ângulo de uma *slice*:
 - $\Delta\alpha = \frac{2\pi}{\text{slices}}$
 - O distância entre uma *stack*:
 - $\Delta h = \frac{\text{altura}}{\text{stacks}}$
2. Geração de pontos:
- Itera-se por cada combinação de i e j para determinar todos os pontos do cilindro
 - Por cada i calcula-se $h_a = i \cdot \Delta h$
 - Por cada j calcula-se $\alpha = j \cdot \Delta\alpha$ e determinam as coordenadas x, y e z de um ponto com base nas expressões matemáticas definidas acima
 - O ponto $(0,0,0)$ e $(0, h, 0)$ são criados separadamente, após todas as iterações serem finalizadas
3. Formação dos triângulos:
- Associam-se os pontos para formar triângulos, lidando separadamente com os triângulos do topo e da base do cone

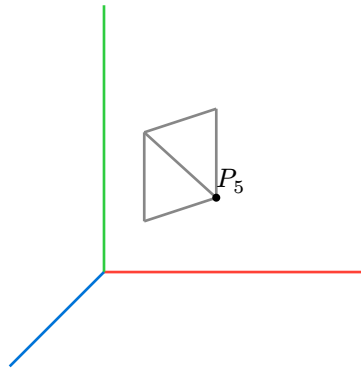


Figura 9: Representação de um conjunto de associações, na iteração 5, na execução do comando `generator cylinder 1 10 10 cylinder.3d.`

4. Escrita para ficheiro.

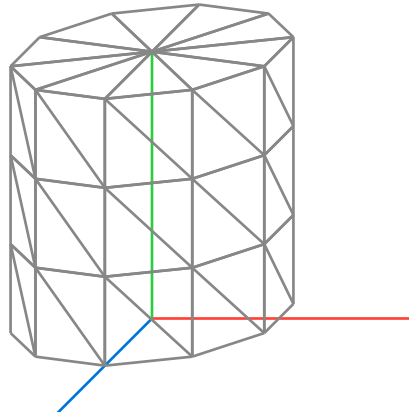


Figura 10: Representação de um conjunto de associações, numa dada iteração, na execução do comando `generator cylinder 1 2 10 3 cylinder.3d.`

2.2.6. Toro

A geração de toros tridimensionais é realizada através da parametrização matemática da superfície de um toro, definida pelas seguintes equações paramétricas:

$$\begin{cases} x = (R + r \cos(\beta)) \cos(\alpha) \\ y = r \sin(\beta) \\ z = (R + r \cos(\beta)) \sin(\alpha) \end{cases}$$

onde:

- R é o raio maior (distância do centro do toro ao centro da estrutura)
- r é o raio menor (raio da estrutura)
- α é o ângulo que percorre as divisões ao longo da circunferência principal (*slices*)
- β é o ângulo que percorre as divisões ao longo da circunferência do tubo (*stacks*)

Algoritmo de Geração de Toros

A função `createTorus()` implementa o seguinte processo:

1. Definição dos ângulos incrementais:
 - O ângulo por *slice* (divisão ao longo da circunferência maior) é dado por:
 - $\Delta\alpha = \frac{2\pi}{\text{slices}}$
 - O ângulo por *stack* (divisão ao longo da circunferência da estrutura) é dado por:
 - $\Delta\beta = \frac{2\pi}{\text{stacks}}$
2. Cálculo das coordenadas dos pontos:
 - Itera-se sobre os *slices* e *stacks*, calculando as coordenadas (x, y, z) para cada ponto do sólido
3. Construção dos triângulos:
 - Para cada artefacto gerado pelos pontos adjacentes, são definidos dois triângulos

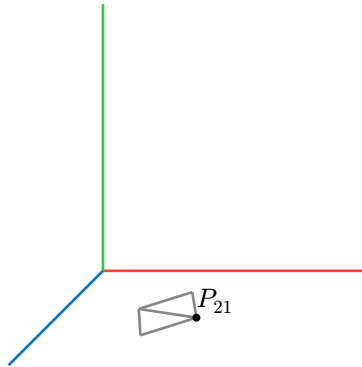


Figura 11: Representação de um conjunto de associações, na iteração 21, na execução do comando `generator torus 1 0.3 20 10 torus.3d.`

4. Escrita para ficheiro.

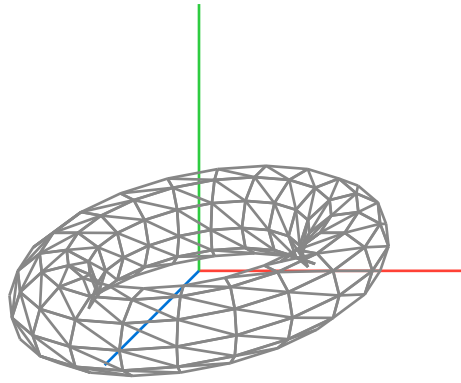


Figura 12: Representação da primitiva com a execução do comando `generator torus 1 0.3 20 10`
`torus.3d.`

3. Engine

3.1. Ficheiros de cena .xml

O ficheiros `.xml` desempenham um papel fundamental no projeto, atuando como configuração centralizada para a cena tridimensional. Estes ficheiros fornecem uma forma estruturada e legível de definir todos os elementos necessários para a renderização, promovendo independência entre o conteúdo visual e o código.

Estrutura do ficheiro `.xml`

A estrutura de um ficheiro `.xml`, no contexto do nosso projeto, é hierárquica e compreensível, permitindo uma organização lógica dos componentes da cena. O elemento raiz é `<world>`, que engloba todas as configurações e objetos da cena. Dentro destes, destacam-se os seguintes blocos:

- `<window>`: Especifica as dimensões da janela gráfica. Os atributos *width* e *height* determinam as dimensões em *px*
- `<camera>`: Contém os parâmetros de posicionamento e projeção da câmara. O elemento `<position>` define a localização da câmara no espaço 3D. A tag `<lookAt>` indica o ponto focal, enquanto `<up>` estabelece o vetor vertical. A secção `<projection>` configura parâmetros como o campo de visão (*fov*) e as distâncias de visualização *near* e *far*
- `<group>`: Agrupa os modelos a serem renderizados. Dentro deste grupo, encontram-se elementos `<model>` que fazem referência aos ficheiros `.3d` ou `.obj` a serem interpretados pelo *engine*

Exemplo de `config.xml`

```
<world>
  <window width="1000" height="600" />
  <camera>
    <position x="3" y="2" z="1" />
    <lookAt x="0" y="0" z="0" />
    <up x="0" y="1" z="0" />
    <projection fov="60" near="1" far="1000" />
  </camera>
  <group>
    <models>
      <model file="../../objects/sphere.3d" />
      <model file="../../objects/ferrari.obj" />
    </models>
  </group>
</world>
```

Figura 13: Exemplo da estrutura de um ficheiro `.3d`.

Leitura e processamento

O ficheiro `.xml` introduzido na inicialização do *engine* é assimilado através da classe `XMLParser`. Utilizando a biblioteca [TinyXML2](#), os elementos e atributos são interpretados e mapeados para estruturas internas (`WorldConfig`, `CameraConfig`, `ModelConfig`). Esta abordagem oferece flexibilidade, permitindo a fácil adição de novos parâmetros ou modelos sem alterar o código. Finalmente, a configuração carregada

é disponibilizada globalmente para configuração dos parâmetros das várias funções como definição do tamanho da janela, disposição da posição da câmara, entre outras.

3.2. Renderização

3.2.1. Controlos

O nosso *engine* fornece ao utilizador uma forma intuitiva de movimentar a câmara. Utilizando a convenção *click and drag*, o utilizador pode controlar a posição da câmara clicando e arrastando o cursor. Este movimento induz uma alteração da posição da câmara em torno do objeto em foco.

O utilizador dispõe ainda da funcionalidade de aproximar ou afastar a câmara fazendo *scroll* para cima ou para baixo. O GLUT não fornece suporte para rastrear o *scroll* do rato. Para tal, fez uso da função `glutMouseWheelFunc()` da alternativa ao GLUT — [freeGlut](#).

3.2.2. VBOs

A implementação de *Vertex Buffer Objects* (VBOs) teve um impacto direto no desempenho da aplicação. No contexto da primeira fase, decidiu-se seguir a metodologia de **VBOs sem índice**, com múltiplos *buffers*. Desta forma, as estruturas de dados que, antes da implementação, alojavam um conjunto de estruturas do tipo `struct Point {float x, y, z};`, passaram apenas a conter elementos do tipo `float` — 3 valores por cada coordenada de cada ponto. Segue um exemplo de um *buffer* preenchido com os pontos do [ficheiro de exemplo](#).

1.0f	0.0f	-1.0f	1.0f	0.0f	-0.3333f	1.0f	0.0f	0.3333f	...
------	------	-------	------	------	----------	------	------	---------	-----

Figura 14: Exemplo dos elementos de um *buffer*.

O uso de VBOs destaca-se em situações onde existe um elevado número de triângulos. Para tal, realizaram-se testes de *performance*² para comparar o desempenho do programa com e sem VBOs implementados. Criaram-se e renderizaram-se esferas com números de triângulos variáveis e alternou-se entre o uso ou não de VBOs sem índice (ver [4.1.2](#)).

Frames por segundo		
Número de triângulos	Sem VBOs	VBOs sem índices
16 ^c	6805	7253
1012 ^d	2701	6812
262812 ^e	32	1437
1049800 ^f	8	487

Tabela 1: Resultados do teste de desempenho com e sem VBOs.

²Testes realizados num *MacBook Air M1 2020*

^c`./generator sphere 1 4 3 sphere.3d`

^d`./generator sphere 1 23 23 sphere.3d`

^e`./generator sphere 1 363 363 sphere.3d`

^f`./generator sphere 1 725 725 sphere.3d`

4. Extras

4.1. Menu na Interface Gráfica

Para maximizar o aproveitamento das funcionalidades do nosso *engine*, desenvolveu-se uma interface gráfica utilizando a biblioteca [Dear ImGui](#). Esta interface proporciona ao utilizador um controlo intuitivo sobre as configurações da cena, dos modelos, da câmara e da renderização.

O menu está estruturado em categorias expansíveis, permitindo uma navegação organizada entre diferentes opções, como ajustes da câmara, personalização da cena e gestão dos modelos. Além disso, exibe em tempo real informações de desempenho, incluindo a taxa de FPS e o número de triângulos renderizados.

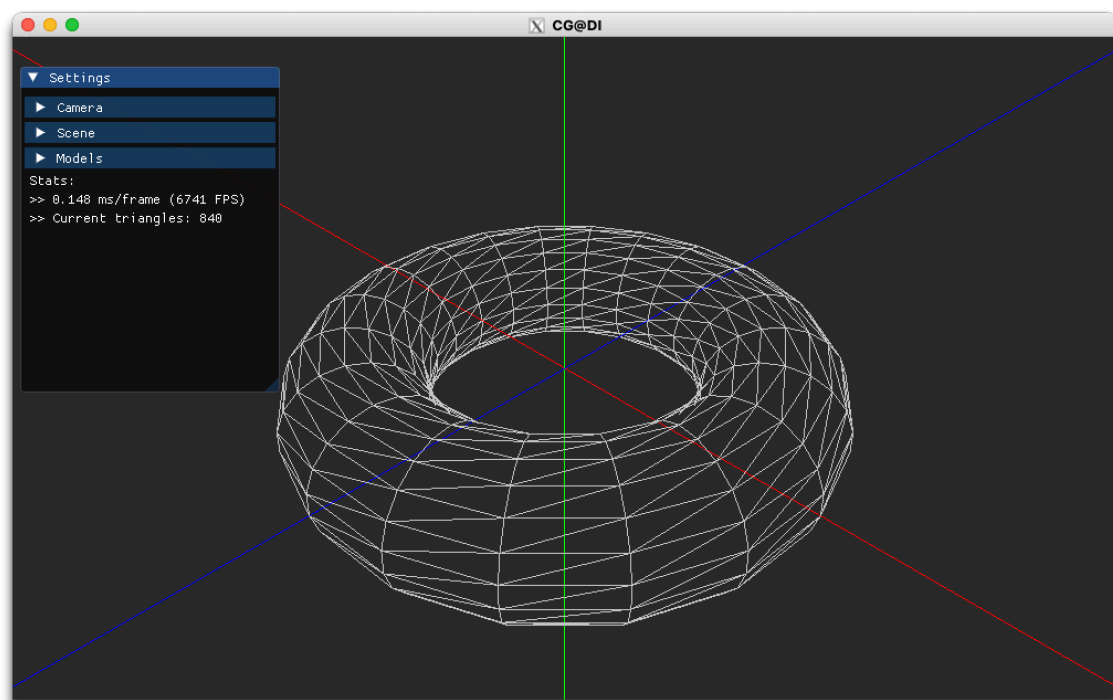


Figura 15: Visão geral do menu.

4.1.1. Definições da Câmara

Na aba das definições da câmara, o utilizador detém do controlo total da posição da câmara e para onde olha. Pode ainda alterar a sensibilidade das funcionalidades de *click and drag* e *scroll*.

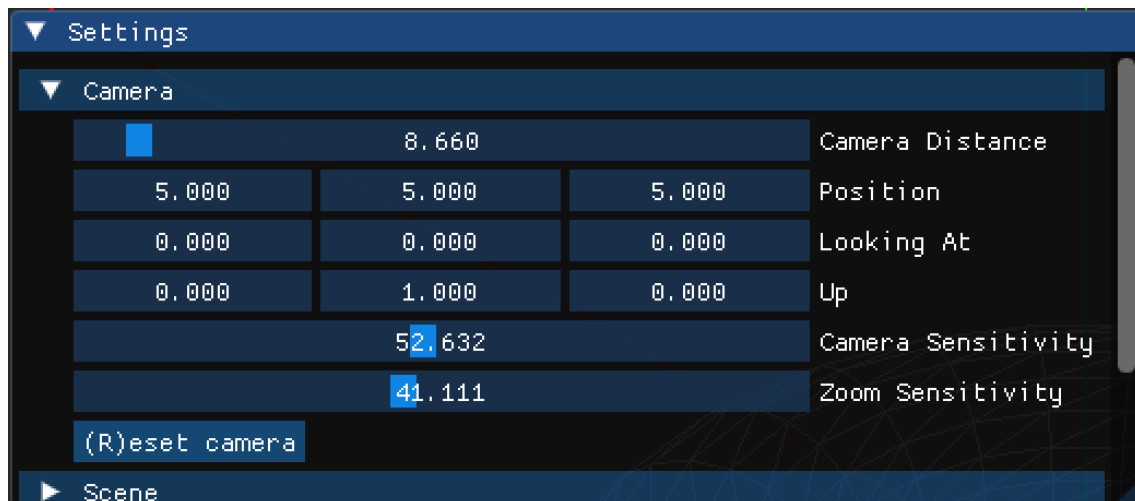


Figura 16: Definições da câmara.

4.1.2. Definições de Cena

Nesta secção, o utilizador consegue alterar parâmetros globais sobre a renderização no *engine*. É possível ativar ou desativar opções como *culling* das faces, modo de *wireframe*, desenho dos eixos e o uso de VBOs⁷. Além disso, permite ajustar a cor de fundo da cena, modificando os valores de vermelho (R), verde (G) e azul (B).

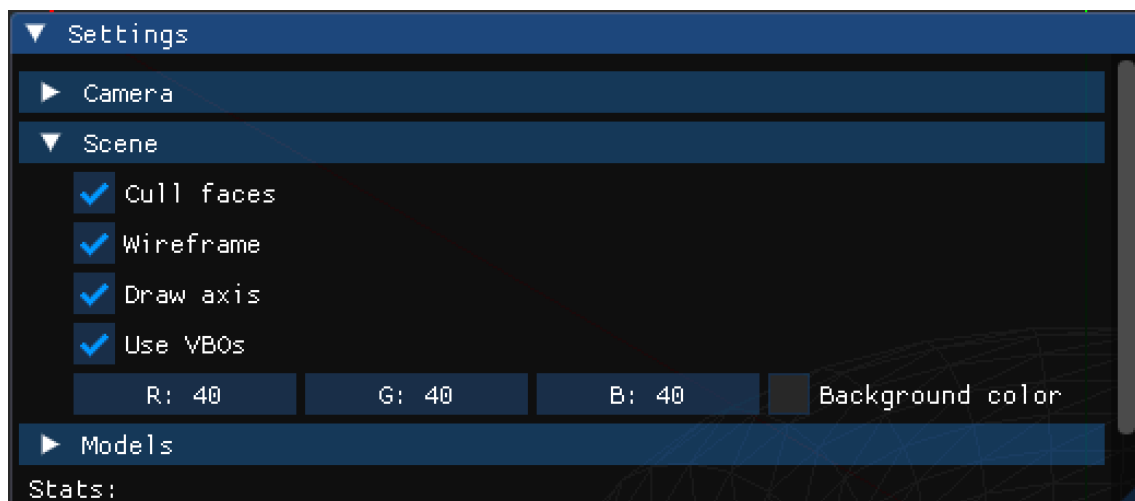


Figura 17: Definições da cena.

4.1.3. Definições dos Modelos

Para o contexto da primeira fase, o utilizador consegue ainda alterar a cor dos modelos em cena, modificando os valores de vermelho (R), verde (G) e azul (B).

⁷A existência de uma opção para ativar ou desativar o uso de VBOs implica ter duas estruturas de dados distintas para armazenar a mesma informação. Modelos com um elevado número de triângulos podem impactar a memória utilizada mais do que o esperado.

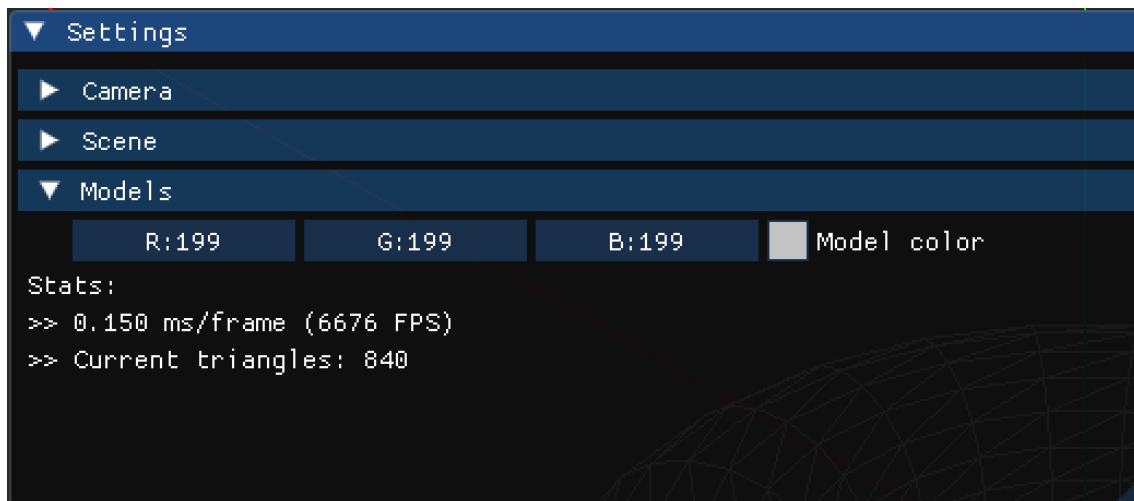


Figura 18: Definições dos modelos.

4.2. Suporte para ficheiros .obj

O *engine* desenvolvido suporta a leitura de ficheiros `.obj`, permitindo a integração de modelos 3D mais complexos e gerados por software industrial. Contudo, numa fase inicial, foram descartadas as coordenadas de textura e as normais dos vértices, centrando-nos apenas na geometria da estrutura.

Exemplo de `.obj`

```
# Vértices
v -1.0 -1.0 -1.0
v -1.0 -1.0 1.0
v 1.0 -1.0 1.0
v 1.0 -1.0 -1.0
v -1.0 1.0 -1.0
v -1.0 1.0 1.0
v 1.0 1.0 1.0
v 1.0 1.0 -1.0

# Faces
f 1/1/1 2/2/2 3/3/3
f 3/3/3 4/4/4 1/5/5
```

Figura 19: Exemplo da estrutura de um ficheiro `.obj`.

Leitura e Processamento

A função `parseFile()`, responsável pelo parsing dos ficheiros, reconhece automaticamente o formato através da extensão do ficheiro. Para ficheiros `.obj`:

1. Leitura de vértices: Linhas iniciadas por 'v' são interpretadas como pontos 3D (x, y, z).
2. Leitura de faces: Linhas iniciadas por 'f' especificam triângulos utilizando índices dos vértices. Utilizam-se apenas os índices de vértices (ignorando texturas e normais), embora estas estejam habitualmente presentes na linha.
3. Integração na estrutura: Os pontos obtidos do ficheiro são introduzidos na mesma estrutura de dados que os pontos dos ficheiros `.3d`, uma vez que esta é totalmente modular e apenas armazena os pontos a desenhar, independentemente da sua origem.

Como referido nesta secção, o grupo optou por descartar parte das informações características dos ficheiros `.obj`, no entanto, prevê que numa próxima fase venha a complementar este trabalho.

5. Conclusão

O grupo completou os pontos requeridos para a primeira fase do projeto. Com a boa execução do pretendido e a inclusão de pontos extra relevantes, estabelecemos uma base sólida para futuras fases do projeto.

Referências

CMake. (2025). CMake. <https://cmake.org/>

The Khronos Group. (2025). OpenGL. <https://www.opengl.org/>

John F. Fay, John Tsiombikas, and Diederick C. Niehorster. (2025). freeGlut. <https://freeglut.sourceforge.net/>

Lee Thomason. (2025). TinyXML2 [Source code]. GitHub. <https://github.com/leethomason/tinyxml2>

orconut. (2025). Dear ImGui [Source code]. GitHub. <https://github.com/ocornut/imgui>

Lista de Siglas e Acrónimos

CG *Computação Gráfica*

XML *Extensible Markup Language*

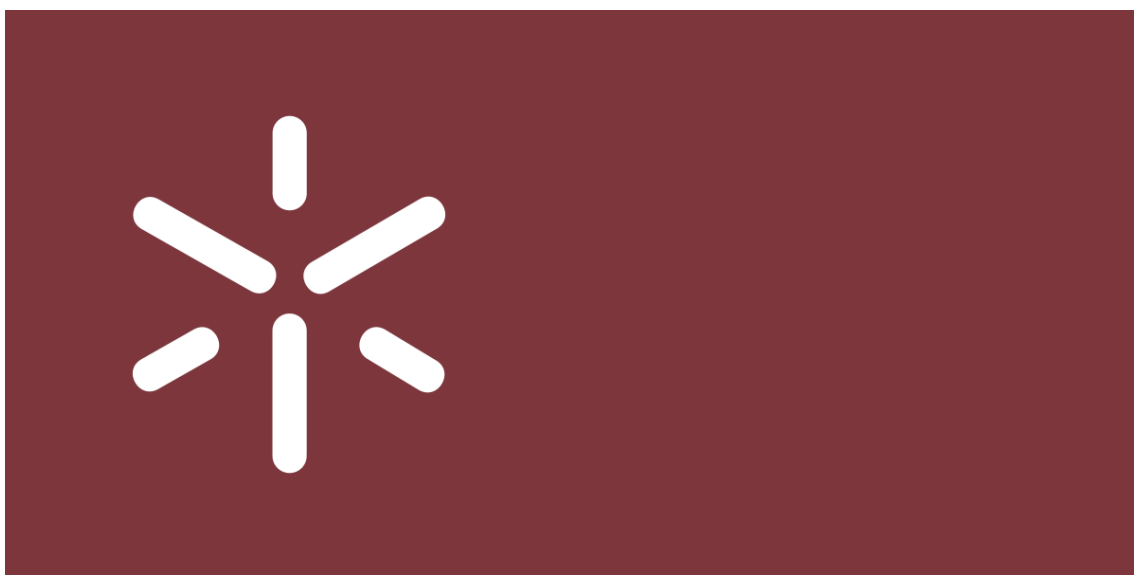
GLUT *OpenGL Utility Toolkit*

VBO *Vertex Buffer Object*

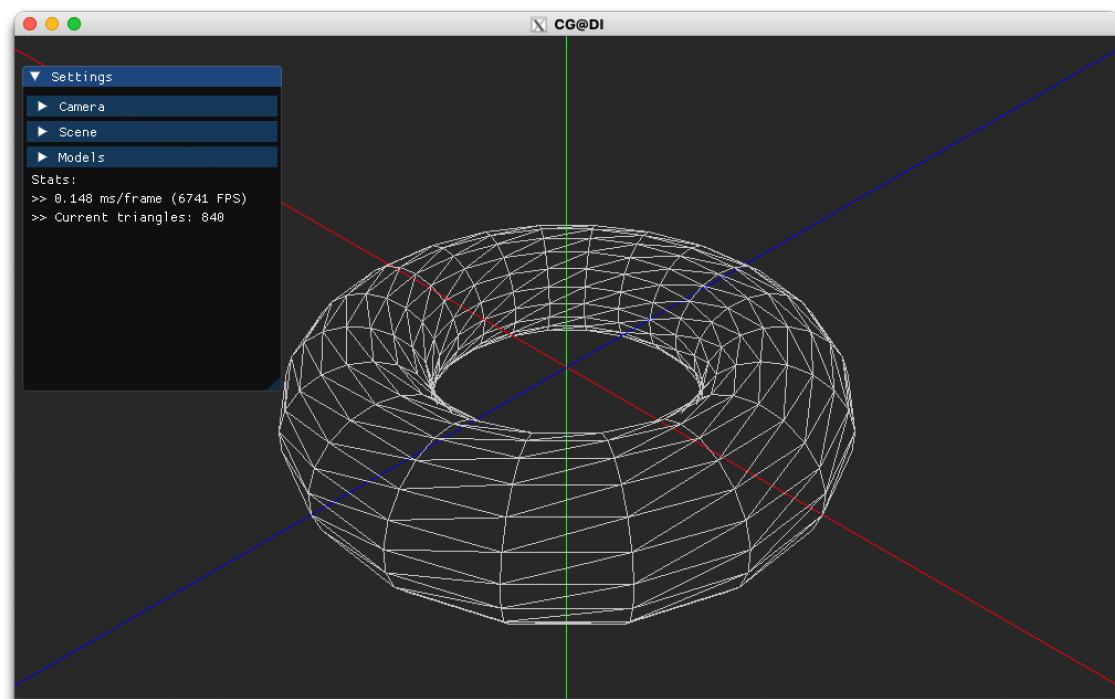
FPS *Frames per Second*

Anexos

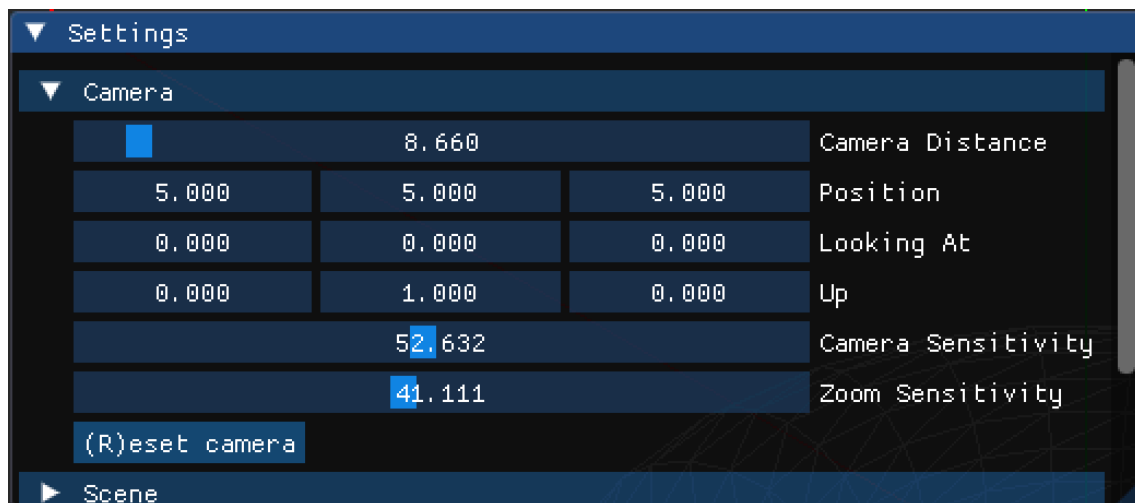
Anexo 1: Logo da Universidade do Minho



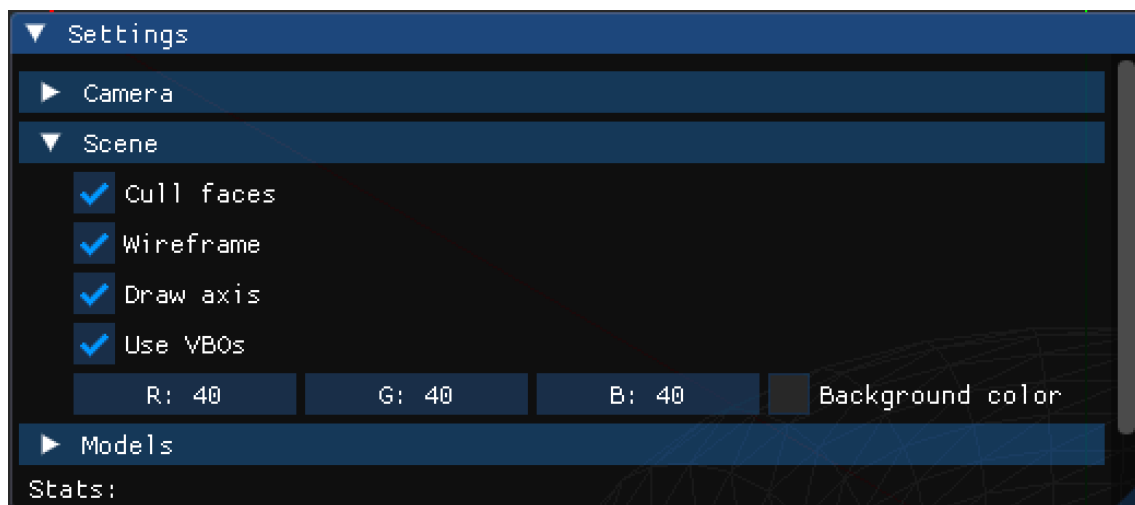
Anexo 2: Visão geral do menu



Anexo 3: Definições da câmara



Anexo 4: Definições da cena



Anexo 5: Definições dos modelos

